



# 中华人民共和国国家标准

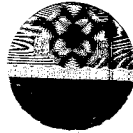
GB/T 23900—2009

## 无损检测 材料超声速度测量方法

Non-destructive testing—Practice for measuring ultrasonic velocity in materials

2009-05-26 发布

2009-12-01 实施



中华人民共和国国家质量监督检验检疫总局  
中国国家标准化管理委员会 发布

## 目 次

|                                    |     |
|------------------------------------|-----|
| 前言 .....                           | III |
| 1 范围 .....                         | 1   |
| 2 规范性引用文件 .....                    | 1   |
| 3 术语和定义 .....                      | 1   |
| 4 概述 .....                         | 1   |
| 5 设备 .....                         | 1   |
| 6 测量规程 .....                       | 2   |
| 7 报告 .....                         | 3   |
| 附录 A (资料性附录) 材料超声速度测量的其他重要技术 ..... | 5   |
| 附录 B (资料性附录) 工程材料中的声速 .....        | 14  |
| 附录 C (资料性附录) 水中超声速度随温度的变化 .....    | 16  |

## 前　　言

本标准修改采用 ASTM E494-05《材料超声速度测量方法》(英文版)。

本标准根据 ASTM E494-05 重新起草。

考虑到我国国情,在采用 ASTM E494-05 时,本标准做了一些修改。有关技术性差异如下:

- 将规范性引用文件改为我国标准;
- 删除 ASTM E494-05 的第 5 章;
- 删除 ASTM E494-05 的第 9 章;
- 删除 ASTM E494-05 的资料性附录 X1。

为便于使用,本标准还做了下列编辑性修改:

- “本方法”一词改为“本标准”;
- 在第 2 章中插入 GB/T 1.1—2000 规定的引导语;
- 按 GB/T 1.1—2000 规定的格式要求,对附录和部分章条重新做了编号。

本标准的附录 A、附录 B 和附录 C 为资料性附录。

本标准由全国无损检测标准化技术委员会(SAC/TC 56)提出并归口。

本标准起草单位:中国特种设备检测研究院。

本标准主要起草人:沈功田、吴彦。

# 无损检测 材料超声速度测量方法

## 1 范围

本标准规定了用 A 型脉冲反射式超声探伤设备测量材料中超声速度的方法。

本标准描述的是一种采用超声速度已知的参考材料(试块),通过比较的方法来测量被测材料中的超声速度。

本标准适用于厚度大于或等于 5 mm 的固体材料,且与超声波能量传播方向垂直的两个表面之间的平行度在 $\pm 3^\circ$ 之间,以及与超声探头耦合的表面粗糙度优于  $3.2 \mu\text{m}$ 。

用其他专门研制的超声仪器、辅助设备和专项技术可获得更精确的结果。附录 A 中列出了测量超声波速度的其他一些方法。

注:包括技术、仪器、材料种类和操作人员等因素的变化都将引起速度指示的变化,有时甚至会达到 5%。上述因素综合到一起的影响结果预期会增加检测精度(可能在 1% 的公差范围以内)。

## 2 规范性引用文件

下列文件中的条款通过本标准的引用而成为本标准的条款。凡是注日期的引用文件,其随后所有的修改单(不包括勘误的内容)或修订版均不适用于本标准,然而,鼓励根据本标准达成协议的各方研究是否可使用这些文件的最新版本。凡是不注日期的引用文件,其最新版本适用于本标准。

GB/T 12604. 1 无损检测 术语 超声检测 (GB/T 12604. 1—2005, ISO 5577: 2000,  
Non-destructive testing—Ultrasonic inspection—Vocabulary, IDT)

JB/T 9214 A 型脉冲反射式超声探伤系统工作性能测试方法

## 3 术语和定义

GB/T 12604. 1 确立的术语和定义适用于本标准。

## 4 概述

在固体中能够传播几个可能的振动模式。本标准涉及到两种传播速度,即纵波的速度( $v_1$ )和横波的速度( $v_s$ )。当试样在与波束垂直方向上的几何尺寸远大于波束面积和波长时,纵波速度不受试样几何形状的影响。横波的传播速度基本上不受试样几何尺寸的影响。本标准涉及的方法,仅适用于常规脉冲反射式超声探伤设备。

## 5 设备

### 5.1 测试仪器

任何超声仪器都是由时基线、发射(脉冲)装置、接受装置(回波放大器)以及 A 扫描显示电路组成的,能产生、接受并显示超声波电信号。仪器应能沿 A 扫描时基线以 $\pm 0.5 \text{ mm}$ 的精度读出  $A_k$ 、 $A_l$ 、 $A_t$ 、 $A_s$ (其定义见 6.1.5 和 6.2.5)等几个位置。为了获得最佳的精度,宜采用尽可能高的频率,并至少能够显示 2 次,最好是 5 次清晰反射的回波。

### 5.2 探头

用于接触法检测的探头,应能产生并接收适当大小、类型和频率的超声波。直接接触纵波模式用来测量纵波速度,直接接触横波模式用来测量横波速度。





$A_t = \underline{\hspace{2cm}}$  m;

$n_s = \underline{\hspace{2cm}}$  ;

$t_s = \underline{\hspace{2cm}}$  m;

$v_t = \underline{\hspace{2cm}}$  m/s;

$A_s = \underline{\hspace{2cm}}$  m;

$n_t = \underline{\hspace{2cm}}$  ;

$t_t = \underline{\hspace{2cm}}$  m;

$v_s$  [用公式(2)] =  $\underline{\hspace{2cm}}$  m/s。

- c) 水平线性。
- d) 测量频率。
- e) 耦合剂。
- f) 探头：
  - 1) 频率；
  - 2) 尺寸；
  - 3) 形状；
  - 4) 类型；
  - 5) 序列号。
- g) 试块几何尺寸。
- h) 仪器：
  - 1) 名称；
  - 2) 型号；
  - 3) 序列号；
  - 4) 相关控制设置。



A.5.5 水槽中必须充满超声速度已知的液体。如在 20 °C 下,水的超声速度=1 483.1 m/s。温度系数是  $\Delta v/\Delta t = +2.5 \text{ m}/(\text{s} \cdot ^\circ\text{C})$ 。在水的情况下,对温度的检查是完全必要的(参见附录 C)。

A.5.6 也可以使用混合液体,例如,水和酒精(18%的质量百分比)的混合物,在室温下的温度系数是零。

A.5.7 按下式计算速度:

$$\text{速度}_z (\text{m/s}) = \frac{\text{速度}_w (\text{m/s}) \times \text{厚度}_z (\text{m})}{\text{距离}_{zw} (\text{m})} \quad \dots \dots \dots \quad (\text{A.2})$$

#### A.6 穿过混凝土的脉冲速度

A.6.1 脉冲发生器以不小于每秒 50 次的速率产生 10 kHz~50 kHz 的重复脉冲。

A.6.2 将探头表面通过耦合介质按压在混凝土表面上。用水、油或其他黏性材料将混凝土湿润,可将探头振动膜与混凝土接触表面之间的空气除掉。通过排列闸门标识脉冲对应的接收波前,读标准化刻度盘或者计算传播和接收脉冲之间的计数波形周期数,可以测量出振动膜中心之间最短的直线路径长度和在 A 扫描显示器上的传播时间。

#### A.7 脉冲回波双晶探头方法

A.7.1 本方法使用的单探头包含两部分:一部分做发射器,另一部分做接收器。

A.7.2 既然超声速度测量主要是对基于试块厚度的时间的测量,且大多数厚度测量仪器用本方法成功地以高精度测量厚度,将这种速度测量方法引入实践是适当的。

注:用双晶探头方法,脉冲回波的传播时间是试块厚度的非线性函数,当此技术应用于速度测量时可能引起重大的误差。速度测量的误差可以用一个与被测试块声速和厚度相近的参考试块来消除。单探头系统通常更适合对速度进行精密测量。

A.7.3 推荐使用任何采用双晶探头方法且有标准化刻度的厚度测量仪,包括 A 扫描显示单元和仪表读出器单元。对于 A 扫描显示单元而言,因为刻度刻在显示器的内表面或对输出信号进行积分,视差问题就被解决了。对于仪表读出器单元或数字式读出单元而言,视差不是主要的问题。

A.7.4 大多数双晶探头厚度测量仪器利用第一个反射回波来进行读出的测量。因此测试范围通常是固定的并很好地标准化了。不必产生几个反射回波来求取平均传播时间。

A.7.5 因为第一个反射回波比后面任一个反射回波,如从显像管一端开始的第五个回波,更具有深度或时间上的代表性,所以具有弯曲表面的试块在测量上出现问题更少。在小直径管材中的误差可能比相当的平直试块更大。

#### A.7.6 步骤

A.7.6.1 在一个已知声速的钢制阶梯试块上校准仪器和探头。通过调节扫描延迟和范围控制,确保两个或更多的厚度(高和低)读数出现在正确的距离上(图 A.1)。

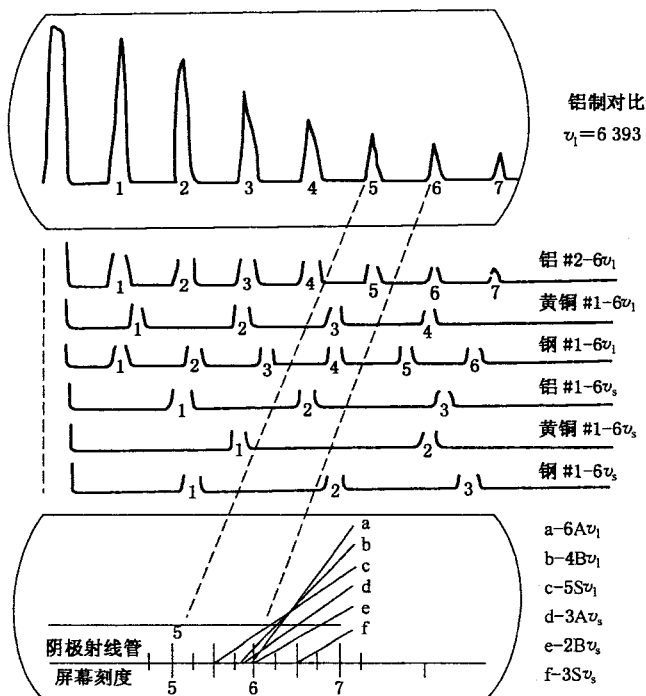


图 A.1 避免因视差引起误差进行的仪器设置

A.7.6.2 不改变仪器的扫描和范围控制测量未知速度试块的厚度。用卡尺或千分尺测量被测区域的实际厚度。

A.7.6.3 按下式计算未知速度：

$$v_x = v_{\text{铜}} \times \frac{\text{实际厚度}}{\text{测量厚度}} \quad \dots \dots \dots \quad (\text{A.3})$$

式中：

$v_x$ ——未知速度。

#### A.8 谐波法(零值法)

A.8.1 当只有几个回波能被利用时,用超声回波仪器测量壁厚将变得不准确,因为存在高吸收、腐蚀或不适宜的放射性几何结构。在这些情况下,可以将壁厚测量仪调到回波频率的谐波上(谐波法)来提高测量结果的精度。

A.8.2 到目前为止,干涉计方法已经用于精密测量声传播。在那些对最终精度不作高要求的场合下谐波法可代替复杂且费时的干涉法。在常规条件下,用所谓的“零值法”能获得 0.5% 或更高的精度。

A.8.3 改进的方法利用了从探头发射经一长缓冲器杆后,进入有几个波长厚的试样的发射频率(rf)脉冲。缓冲器杆要足够长以便容纳整个 rf 脉冲,而脉冲也要足够长来占据试块中的三个循环行程。脉冲在试块里反射时会产生自干涉。当试块中的循环行程等于半波长的奇数倍时,会产生一个特征回波模式;偶数倍时则产生另一个模式。当 rf 频率变化时这两种模式会交替转变。相位与以 MHz 为单位的周期频率相对应。一种特征模式重复一次时,相位变化一个周期;两种模式之间是 1/2 相位周期。对于频率的相位倒数是以  $\mu\text{s}$  为单位的延迟时间  $t$ ,对于厚度为  $L$  的试块,速度为:

$$v = 2L/t \quad \dots \dots \dots \quad (\text{A.4})$$

#### A.9 相位比较法

A.9.1 该方法是插入由不同循环行程数目组成的两个脉冲回波。如果用精确调整频率来严格控制回

波相位,相位角的表达式可以写成:

$$\gamma - [(2LW_n)/v] = -2\pi n \quad (\text{A.5})$$

式中:

$v$ —传播速度;

$W_n$ —共振频率( $f_n$ )的 $2\pi$ 倍;

$L$ —厚度;

$n$ —波数;

$\gamma$ —因为在探头和试块之间密封产生的相位角。

因此,速度表示为:

$$v = (2Lf_n)/[n + (\gamma/2\pi)] \quad (\text{A.6})$$

A.9.2 实验证明,只要试块厚度至少为超声波长的100倍,尺寸和形状的影响可以有效地减小到零。通常用高频(10 MHz~20 MHz)来使这种影响最小化。

A.9.3 相位比较法的主要优点是绝对速度可以不受耦合误差的影响以非常高的精度确定,因为探头的耦合影响可以评价出来。该方法同样使得在线性尺度小至2 mm的小试块上测量声速成为可能。

### A.10 脉冲重叠法

A.10.1 该方法将rf脉冲以近似等于波在试块中传播的循环行程延迟时间的间隔应用于探头。为了观察刚好在最后一个应用脉冲后叠加的回波,需要周期性地忽略几个应用脉冲。当回波开始按信号之间的时间间隔 $T$ 进行相位调节时,结果脉冲出现最大振幅。在此条件下,下列等式是成立的:

$$\delta = (T/p) - (L/f)[m/p - (\gamma/2\pi)] \quad (\text{A.7})$$

式中:

$\delta$ —循环行程延迟时间;

$f$ —脉冲的rf频率;

$m$ —一个或为正或为负的整数;

$\gamma$ —与在探头端面上反射的波关联的相位角;

$p$ —一个整数(1,2,3...).

既然 $T$ 近似等于循环行程延迟时间 $\delta$ 的倍数,对于 $p=1$ ,应用脉冲对每个循环行程延迟出现一次。通常,在不同的探头共振频率 $f$ 和 $0.9f_r$ 之间对 $T$ 多次测量用来获得在 $f_r$ 和另一个频率 $f$ 之间 $T$ 的差异。对应于 $n=0$ , $\Delta T$ 的负值有最小的量级;除非试块有非常低的机械独立性,延迟时间由 $\delta=T+(\gamma/2\pi f)$ 给出。试块中的声速是 $v=2L/\delta$ ,其中 $L$ 为试块的长度。

A.10.2 这种特殊方法的优点在于探头的耦合可以考虑进去,所以本方法可以很好地适用于在压力和温度变化的场合下进行测量。用该方法,探头和试块之间的耦合影响可忽略不计。理想条件下,这种方法的精度在 $10^{-5}$ 之内,而A.9的相位比较法则在 $10^{-4}$ 之内。按这种方法,可以向试块发送强信号,所以甚至当衰减非常高时,也能进行速度测量。

A.10.3 这两种技术的局限性除材料的多孔性外,预计还依赖于其他各种因素,例如晶粒大小和晶粒边界状况。

### A.11 脉冲回波交迭相速度法

在本方法中,成对的回波在观测示波器上以等于两个回波之间传播时间倒数的频率驱动 $x$ 轴来进行比较。按A.10中的 $\Delta T$ 法,在回波之间选择适当循环交迭的rf,就能对超声相速度进行精确测量。修正因超声衍射产生的相位超前,并应用于各种不同的回波对之间的传播时间,可提高平均循环行程传播时间的精度。延迟时间可精确到0.2 ns甚至更高,在某些情况下可能低到 $5/10^6$ 。对弥散性材料,交迭经检波的高斯包络(铃曲面形rf脉冲,具有窄带宽)可获得群延迟,由此,可测量出群速度。对非弥散

性材料(大部分固体),可用宽带数字脉冲来代替 rf 脉冲。

#### A.12 声共振法

A.12.1 动态声共振法,已发展成被认为是一种获得固体声速和弹性常量的标准方法。固体弯曲的、横断的和扭转的共振频率如已确定,从这些数值可计算出声速。

A.12.2 该方法的优点是在不丧失高精度的情况下测量便捷简单。用该方法可确定典型多孔渗水性聚合化合物的弹性模量。

A.12.3 该方法的缺点仅仅在于被测试块的尺寸局限性。当长度小于 76 mm 时,高弹性模量材料的扭转基本共振频率会超过 40 kHz,这要求采用特殊的仪器和试验技术以获得精确的结果。而且,所有三维(长度、宽度、厚度)在共振频率下的弹性模量计算中都要严格引用。从实用的角度看,要制作具有一致横截面尺寸的小试块相当困难。

A.12.4 另一个要考虑的问题是在方程式中与共振频率下弹性模量相关的形状修正因子。对于矩形试块,建议长度对横截面任一维度的比率不应小于 3 : 1。当要求精度值在 0.1% 以内时,这个比率最好不小于 6 : 1。因此,很难确定大件试块的弹性模量。

A.12.5 声共振技术可在温度高达 3 000 °C 时进行测量。

#### A.13 瞬间接触压力耦合技术

由 Carnevale 和 Lynnworth 发明的瞬接接触压力耦合技术可测量从室温到超过 2 000 °C 的纵波和切变波的速度。该技术通过瞬间压力耦合穿过试块的 1 MHz 的纵波和切变波脉冲并测量其传播时间(如果衰减已确定,也可以测量振幅)。对纵波和切变波速度的测量精度约为 1%。试块是一个直径至少为 5 个波长且长度为几厘米的圆柱体。尺寸要求能轻易满足。因此,试块的制备和模具定型相对简单。瞬接接触法同样能用于测量管材的厚度、钢坯管中心线上的缺陷、高温下(典型的为 1 000 °C)材料的内部温度和其他特性。

#### A.14 开槽杆和阶梯线技术

A.14.1 该技术可应用于典型的如直径 1 cm~3 cm、长几厘米的大试块,或直径小于等于 3 mm、长几厘米的小试块。从室温到感兴趣的最高温度都可以对试块做典型测试。

A.14.2 除非直径更小,大试块可视为一个延长的缓冲杆。直径的变化产生了第一个回波。自由端产生第二个回波。如果有适当的几何结构,纵波能在试块中发生部分模式转换,产生纵波和切变波,由此可以确定模量和泊松系数。通常热环境或在正常测试频率(近似 1 MHz~10 MHz)下缓冲器中的衰减会强加给缓冲器更高的温度限制。

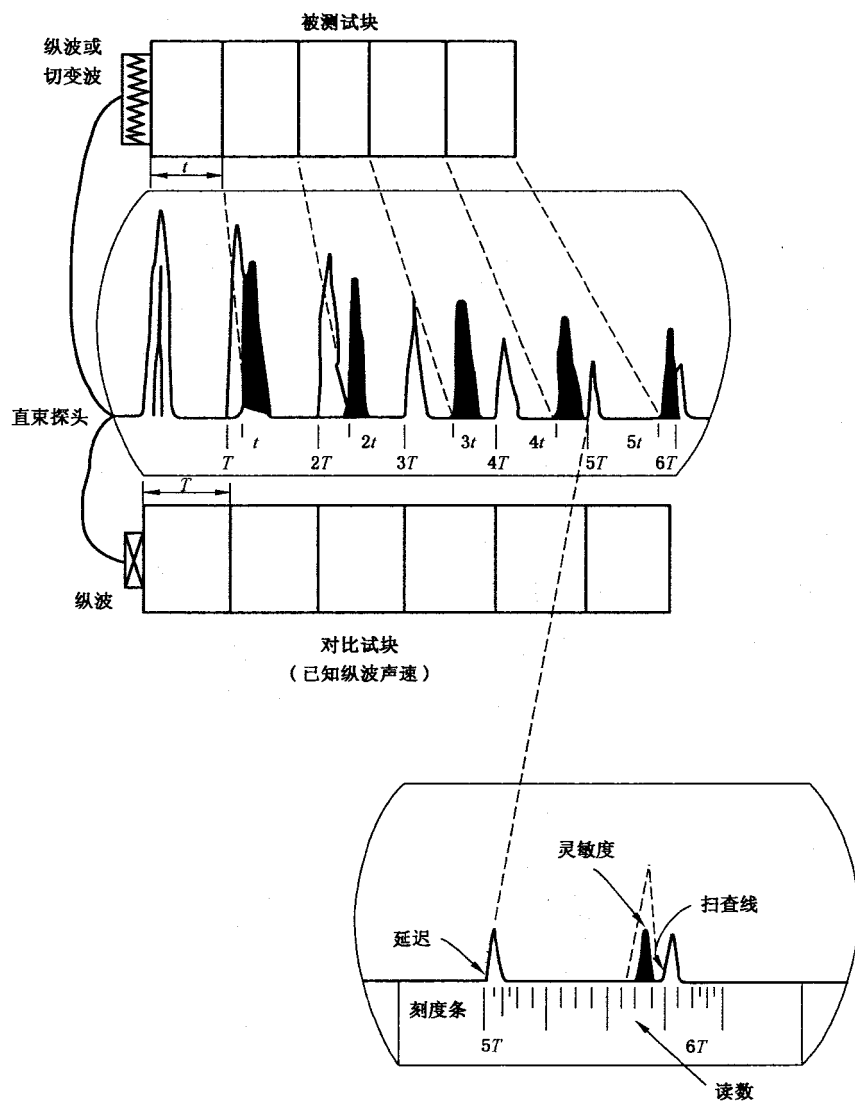
A.14.3 小试块也可能是一个延长的引入线缓冲器,但对各种不同的试块通常使用一个给定的缓冲器(例如直径 1 mm、长 1 m 的钨线)。该技术对于长度小于 1 cm、直径远小于 1 mm 的纤维状和细丝状材料尤其方便。使用 Joule-Wiedemann 磁性探头,能发射中心频率近似为 0.1 MHz 的延伸和扭转脉冲并同时在缓冲器上不发生模式转换地进行非发散性传播。但由于它们的速度不同,在到达试块前,这些模式会清晰地分离。因此可以容易地确定速度、杨氏模量及剪切模量和泊松系数。在高温下,小缓冲器仅产生很少的一些热损耗。试块本身则迅速上升到熔炉的温度。在某些情况下,在循环条件和难熔金属线的熔点下,试块自身的电致发热可用来确定声速。

#### A.15 连续波(CW)相敏技术

A.15.1 基于 CW 的测量试块相位的系统由一个自锁放大器、一个输入探头和一个输出探头组成,它们的排列使波能传播通过试块。放大器包括一个为输入探头提供 CW 的频率源。当频率变化时,锁相放大器的相位计对每 180° 相位改变记录零(清零)。因此每隔一个过零点就是相位  $\phi$  的一个周期。相位



A.16.2.3 把一直束探头连接到仪器上,探头的波模式决定了能测量哪种速度。例如,一个 $\gamma$ 切割的石英,它的主要运动是平行于接触表面的面移动,它将产生一个直束切变波。用油或甘油(其他液体,如聚丁烯等,能对测量切变波提供更好的耦合)将探头耦合到被测试块上。用拟制(限幅、门槛)控制调节来产生最大的振幅,调节仪器控制使产生最多数目的清晰反射回波。测量应在不少于2个反射回波上进行,但也不需多于10个反射回波。5个反射回波就能为速度测量提供很高的精度。如果扫查被调节到如图A.2所示的屏幕上方,用油脂笔在第n个显示的左边把扫查线标记为黑色。



图A.2 仪器读数设置

A.16.2.4 读出始脉冲和油脂笔标记之间反射回波的数目( $N$ )。将第 $N$ 个反射回波延迟到使其左边在比例尺上第一个整数刻度标记的位置上。扫描控制将第 $N+1$ 个反射回波的左边调节到离第 $N$ 个反射回波的距离等于标准试样厚度( $T$ )的位置(延迟和扫描必须反复调节2~3次使第 $N$ 个回波的位置在比例尺的第一个偶数刻度标记上且第 $N$ 个和第 $N+1$ 个反射回波之间在比例尺上的间距等于 $T$ )。用油脂笔在屏幕上标记 $N$ 和 $N+1$ 的振幅并用一条直线连接这两点。

A.16.2.5 将探头耦合到被测试块上。调节灵敏度(增益)将反射回波 $n$ 的振幅设置到 $N$ 和 $N+1$ 振幅连线上。读出从第一个偶数刻度标记到位于 $n$ 反射回波左边的扫描线点之间的距离,这就是读数。

### A.17 透射传播-脉冲回波法

- A.17.1 透射传播技术适于试块表面不是理想的平面、平行及高衰减材料的情况。这种技术使用多于一个的探头,且不要求反射回波在一条线性时间轴上。
- A.17.2 在透射传播方法中,如果能接收到从发射探头传来的脉冲,那么如果可以确定厚度就可以进行速度测量。
- A.17.3 增加一个示波器,能获得更精确的时间读数。示波器可以观察输出脉冲,这些输出脉冲是能用作对脉冲在时间轴上进行定位的参考点脉冲中的扩展 rf 成分,时间轴已按参考标准进行适当的标准化了。

### A.18 不依赖于厚度的速度计方法

- A.18.1 大多数超声速度计方法都基于下列形式的方程式:

$$v = x/t \quad \dots \dots \dots \quad (\text{A.13})$$

式中:

$v$ —速度;

$x$ —超声行程长度(即,对透射传播, $x$ =厚度,或对脉冲回波, $x$ =两倍厚度);

$t$ —传播时间。

不同于这些方法,有其他一些方法无须知道  $x$  就能测量  $v$ 。因此,当确定  $x$  不方便时,例如,当只有一个表面能到达时,这些方法就很适用。

### A.18.2 临界角反射率法

这种方法基于 Snell 法则。它涉及到对几个临界角中一个的测量,波型(纵波、切变波、瑞利波等)依赖于临界角。要测量的声速表示为  $v_2$ ,Snell 法则以在声速  $v_1$  已知的临界介质(通常为水)中初始入射角  $\theta_{1c}$  的形式给出  $v_2$  如下:

$$v_2 = v_1 / \sin\theta_{1c} \quad \dots \dots \dots \quad (\text{A.14})$$

### A.18.3 微分行程和微分角度法

- A.18.3.1 本方法同样基于 Snell 法则,在不方便测量  $x$  或  $\theta_{1c}$  的情况下可考虑使用该方法。对两个不同的入射角应用两次 Snell 法则,将入射角表示为  $\theta_{1a}$  和  $\theta_{1b}$ 。考察在介质 2 中类似模式的两条折射线,它们将以折射角  $\theta_{2a}$  和  $\theta_{2b}$  沿不同的路径传播。在介质 2 中分别传播时间  $t_p$  和  $t_q$ ( $t_p$  和  $t_q$  是单程传播时间)后将发生折射。将介质 1 中的声速表示为  $v_1$ ,如果定义  $A = C c \sin\theta_{1a} / v_1$  和  $B = C c \sin\theta_{1b} / v_1$ ,对于各向同性介质,可表示为:

$$v_2 = \sqrt{\frac{1 - (t_p/t_q)^2}{B^2 - A^2(t_p/t_q)^2}} \quad \dots \dots \dots \quad (\text{A.15})$$

作为一种特殊的简化情况,令  $\theta_{1a}=0$ (垂直入射)。那么  $A=0$ ,且:

$$v_2 = (1/B) \sqrt{1 - (t_p/t_q)^2} \quad \dots \dots \dots \quad (\text{A.16})$$

- A.18.3.2 实际的困难来自直接测量  $t_q$ 。理论上可通过记录用回波对激光光束进行调制的时间来确定  $t_q$ ,其中激光实际上对试块的至少一个表面进行监控。当然,这限制在透光的楔块和/或试块上使用,且是一种相对复杂的测量。

- A.18.3.3 原则上,同样可用在垂直入射情况下测得的传播时间  $t_p$  和沿一对对称的“发射-接收”楔形探头之间试块表面的距离  $2W$  来确定  $v_2$ ,这时探头之间的距离被调整到有最大的回波振幅出现。可以表示为:

$$\frac{v_2^2}{\sqrt{v_1^2 - v_2^2 \sin^2\theta_{1b}}} = \frac{W}{t_p \sin\theta_{1b}} \quad \dots \dots \dots \quad (\text{A.17})$$

如果楔块的  $\theta_{1b}=45^\circ$ ,上式可简化为:

$$\frac{v_2^2}{\sqrt{2v_1^2 - v_2^2}} = \frac{W}{t_p} \quad \text{(A.18)}$$

对于一个特殊的楔块速度  $v_1$  和测得的  $W$  和  $t_p$ , 未知速度  $v_2$  可以用迭代计算来估算, 或对表 A.1 中给出的表格用插值法求得。这种方法的精度通常比简单的速度计方法要高。它依赖于  $v_1$  和  $v_2$  的相对值及入射角。误差主要来源于对  $W$  测量的不确定性。

表 A.1 对于 45° 入射角的  $W/t_p$  计算值

| $v_2$ /<br>(m/s) | $W/t_p$ /<br>(m/s) |                  |                  |                   |
|------------------|--------------------|------------------|------------------|-------------------|
|                  | $v_1 = 2500$ m/s   | $v_1 = 5000$ m/s | $v_1 = 7500$ m/s | $v_1 = 10000$ m/s |
| 0                | 0                  | 0                | 0                | 0                 |
| 1000             | 0.295              | 0.143            | 0.0947           | 0.0709            |
| 2000             | 1.37               | 0.59             | 0.384            | 0.286             |
| 3000             | 4.81               | 0.764            | 0.885            | 0.651             |
| 4000             | —                  | 2.74             | 1.63             | 1.18              |
| 5000             | —                  | 5.00             | 2.67             | 1.89              |
| 6000             | —                  | 9.62             | 4.12             | 2.81              |
| 7000             | —                  | 49.00            | 6.15             | 3.99              |
| 8000             | —                  | —                | 9.19             | 5.49              |
| 9000             | —                  | —                | 14.43            | 7.43              |
| 10000            | —                  | —                | 28.3             | 10.00             |

#### A.18.4 反射系数法

在本方法中,  $v_2$  是由声压反射系数  $R$  推导出来的。在垂直入射的情况下可在已知特征阻抗为  $Z_1$  的第一种介质(液体或固体)和第二种介质之间的界面上测出  $R$ 。即对从介质 1 中传播到介质 2 上的波, 测量  $R = -E_{\text{耦合}}/E_{\text{自由}}$ , 其中  $E$  分别是当两种介质耦合和不耦合情况下观察到的反射回波振幅。如果介质 2 的密度  $\rho_2$  已知或可测出, 则速度  $v_2$  可由下式确定:

$$v_2 = (Z_1/\rho_2)(1+R)/(1-R) \quad \text{(A.19)}$$

#### A.18.5 速度比值法

在某些情况下, 确定通过同样路径的两种速度的比值是有用的。当路径的长度  $x$  已知时, 这常常比仅确定一个速度更容易做到。纵波和切变波的速度比简化成相应传播时间比的倒数, 如下:

$$\frac{v_t}{v_1} = \frac{t_1}{t_t} \quad \text{(A.20)}$$

##### A.18.5.1 泊松系数 $\sigma$ 可以写成下列比值的形式:

$$\sigma = \frac{1 - 2(v_t/v_1)^2}{2 - 2(v_t/v_1)^2} \quad \text{(A.21)}$$

##### A.18.5.2 反过来, 速度比也可以用 $\sigma$ 表示为如下形式:

$$\frac{v_t}{v_1} = \sqrt{\frac{1 - 2\sigma}{2(1 - \sigma)}} \quad \text{(A.22)}$$

A.18.5.3 对于试块是直径小于波长的圆形金属导线或细杆的情况, 不是传播纵波, 而是传播扩展波, 其速度为  $v_E = \sqrt{E/\rho}$ , 其中,  $E$ ——杨氏模量,  $\rho$ ——密度; 还传播扭转波, 其速度为  $v_T = \sqrt{G/\rho}$ , 其中  $G$ ——剪切模量。细杆速度比值如下:

$$\frac{v_T}{v_E} = 1/\sqrt{2(1+\sigma)} \quad \text{(A.23)}$$

**附录 B**  
**(资料性附录)**  
**工程材料中的声速**

本附录中给出的数值是从不同的资料收集到的。因成分、处理和测试条件的变动影响,这些数值不是绝对精确的。通常对大部分实际应用场合,这些数据是足够精确的。

表 B.1 工程材料中的声速

| 材料        | 密度/(kg/m <sup>3</sup> ) | 纵波速度        |                       | 切变波速度       |                       |
|-----------|-------------------------|-------------|-----------------------|-------------|-----------------------|
|           |                         | m/s         | ×10 <sup>3</sup> in/s | m/s         | ×10 <sup>3</sup> in/s |
| 铝         | 2 700                   | 6 300       | 250                   | 3 130       | 124                   |
| 铍         | 1 850                   | 12 400      | 488                   | 8 650       | 340                   |
| 铋         | 9 800                   | 2 180       | 85                    | 1 100       | 43                    |
| 黄铜        | 8 100                   | 4 370       | 173                   | 2 100       | 83                    |
| 青铜        | 8 860                   | 3 530       | 139                   | 2 230       | 88                    |
| 镉         | 8 600                   | 2 780       | 109                   | 1 500       | 59                    |
| 铌         | 8 580                   | 4 950       | 194                   | 2 180       | 85                    |
| 铜         | 8 900                   | 4 700       | 185                   | 2 260       | 88                    |
| 金         | 19 300                  | 3 240       | 127                   | 1 200       | 47                    |
| 铪         | 11 300                  | 3 860       | 152                   | 2 180       | 82                    |
| 英康镍合金     | 8 250                   | 5 720       | 225                   | 3 020       | 119                   |
| 铁(电解)     | 7 900                   | 5 960       | 235                   | 3 220       | 128                   |
| 铁(铸)      | 7 200                   | 3 500~5 600 | 138~222               | 2 200~3 200 | 87~131                |
| 铅         | 11 400                  | 2 160       | 85                    | 700         | 27                    |
| 铅锑合金      | 10 900                  | 2 160       | 85                    | 810         | 32                    |
| 镁         | 1 740                   | 5 740       | 227                   | 3 080       | 122                   |
| 蒙乃尔铜镍合金   | 8 830                   | 6 020       | 237                   | 2 720       | 107                   |
| 镍         | 8 800                   | 5 630       | 222                   | 2 960       | 118                   |
| 塑胶(丙烯酸树脂) | 1 180                   | 2 670       | 105                   | 1 120       | 44                    |
| 铂         | 21 450                  | 3 960       | 155                   | 1 670       | 65                    |
| 熔凝石英      | 2 200                   | 5 930       | 233                   | 3 750       | 148                   |
| 银         | 10 500                  | 3 600       | 141                   | 1 590       | 62                    |
| 银镍合金      | 8 750                   | 4 620       | 182                   | 2 320       | 91                    |
| 不锈钢(347)  | 7 910                   | 5 790       | 226                   | 3 100       | 122                   |
| 不锈钢(410)  | 7 670                   | 5 900       | 232                   | 3 300       | 130                   |
| 钢         | 7 700                   | 5 900       | 232                   | 3 230       | 127                   |
| 锡         | 7 300                   | 3 320       | 130                   | 1 670       | 65                    |
| 钛         | 4 540                   | 6 240       | 245                   | 3 215       | 126                   |
| 钨         | 19 100                  | 5 460       | 214                   | 2 620       | 103                   |
| 钴         | 18 700                  | 3 370       | 133                   | 1 930       | 76                    |
| 锌         | 7 100                   | 4 170       | 164                   | 2 410       | 94                    |
| 锆         | 6 490                   | 4 310       | 169                   | 1 960       | 77                    |

表 B.2 一些陶瓷材料的密度和超声速度

| 材料  | 状态         | 密度/<br>(kg/m <sup>3</sup> ) | %理论值 | 纵波速度                |            | 横波速度                 |            |
|---|------------|-----------------------------|------|---------------------|------------|----------------------|------------|
|   |            |                             |      | m/s                 | 频率/<br>MHz | m/s                  | 频率/<br>MHz |
| $\alpha$ 金刚砂  | 烧结         | 3 190                       | 99+  | 12 180              | 20         | 7 680                | 20         |
|   |            | 3 100                       |      | 11 182              |            | 7 510                |            |
|   |            | 3 000                       |      |                     |            |                      |            |
|   |            | 2 900                       | 90   | 11 020              |            | 6 950                |            |
| 氧化铝   | 烧结         | 3 660                       | 92   | 9 850               | 50         | 5 900                | 20         |
|   | 锻压和烧结      | 3 700                       |      | 10 200 <sup>a</sup> |            | 5 890 <sup>a</sup>   |            |
|   |            | 3 700                       |      | 9 970 <sup>b</sup>  |            | 5 930 <sup>b,c</sup> |            |
|   |            | 3 700                       |      | 9 970 <sup>b</sup>  |            | 5 910 <sup>b,d</sup> |            |
| 氧化锆   | 烧结         | 5 700                       | 98   | 7 040               | 30         | 3 720                | 10         |
|   | 加热老化       | 5 680                       |      | 7 050               |            | 3 760                |            |
| 氮化硅   | HIP        | 3 200                       | 99+  | 10 800              | 50         | 6 010                | 20         |
| 强化氮化硅   | 30% SIC 丝  | 3 200                       | 99+  | 10 800              | 50         | 6 250                | 20         |
| 强化氮化硅   | 20% SIC 纤维 | 2 490                       | 77   | 7 600 <sup>e</sup>  | 5          | 4 700 <sup>e,f</sup> | 5          |
|   |            |                             |      |                     |            | 4 300 <sup>e,g</sup> |            |
| YBa <sub>2</sub> Cu <sub>3</sub> O <sub>7-x</sub> (超导体) | 单相无织纹      | 5 940                       | 93   | 5 120               | 20         | 3 040                | 5          |

<sup>a</sup> 波平行于锻压轴传播。  
<sup>b</sup> 波垂直于锻压轴传播。  
<sup>c</sup> 波平行于锻压轴振动。  
<sup>d</sup> 波垂直于锻压轴振动。  
<sup>e</sup> 波垂直于纤维轴传播。  
<sup>f</sup> 波平行于纤维轴振动。  
<sup>g</sup> 波垂直于纤维轴振动。

**附录 C**  
**(资料性附录)**  
**水中超声速度随温度的变化**

表 C.1 水中超声速度随温度的变化

| 温度/<br>℃ | 声速      |                       | 温度/<br>℃ | 声速      |                       |
|----------|---------|-----------------------|----------|---------|-----------------------|
|          | m/s     | ×10 <sup>3</sup> in/s |          | m/s     | ×10 <sup>3</sup> in/s |
| 15.0     | 1 470.6 | 57.89                 | 20.2     | 1 483.6 | 58.40                 |
| 15.2     | 1 471.1 | 57.91                 | 20.4     | 1 484.1 | 58.42                 |
| 15.4     | 1 471.6 | 57.93                 | 20.6     | 1 484.6 | 58.44                 |
| 15.6     | 1 472.1 | 57.95                 | 20.8     | 1 485.1 | 58.46                 |
| 15.8     | 1 472.6 | 57.97                 | 21.0     | 1 485.6 | 58.48                 |
| 16.0     | 1 473.1 | 57.99                 | 21.2     | 1 486.1 | 58.50                 |
| 16.2     | 1 473.6 | 58.01                 | 21.4     | 1 486.6 | 58.52                 |
| 16.4     | 1 474.1 | 58.03                 | 21.6     | 1 487.1 | 58.54                 |
| 16.6     | 1 474.6 | 58.05                 | 21.8     | 1 487.6 | 58.56                 |
| 16.8     | 1 475.1 | 58.07                 | 22.0     | 1 488.1 | 58.58                 |
| 17.0     | 1 475.6 | 58.09                 | 22.2     | 1 488.6 | 58.60                 |
| 17.2     | 1 476.1 | 58.11                 | 22.4     | 1 489.1 | 58.62                 |
| 17.4     | 1 476.6 | 58.13                 | 22.6     | 1 489.6 | 58.64                 |
| 17.6     | 1 477.1 | 58.15                 | 22.8     | 1 490.1 | 58.66                 |
| 17.8     | 1 477.6 | 58.17                 | 23.0     | 1 490.6 | 58.68                 |
| 18.0     | 1 478.1 | 58.19                 | 23.2     | 1 491.1 | 58.70                 |
| 18.2     | 1 478.6 | 58.21                 | 23.4     | 1 491.6 | 58.72                 |
| 18.4     | 1 479.1 | 58.23                 | 23.6     | 1 492.1 | 58.74                 |
| 18.6     | 1 479.6 | 58.25                 | 23.8     | 1 492.6 | 58.76                 |
| 18.8     | 1 480.1 | 58.27                 | 24.0     | 1 493.1 | 58.78                 |
| 19.0     | 1 480.6 | 58.29                 | 24.2     | 1 493.6 | 58.80                 |
| 19.2     | 1 481.1 | 58.31                 | 24.4     | 1 494.1 | 58.82                 |
| 19.4     | 1 481.6 | 58.33                 | 24.6     | 1 494.6 | 58.84                 |
| 19.6     | 1 482.1 | 58.35                 | 24.8     | 1 495.1 | 58.86                 |
| 19.8     | 1 482.6 | 58.37                 | 25.0     | 1 495.6 | 58.88                 |
| 20.0     | 1 483.1 | 58.38                 | —        | —       | —                     |



中华人民共和国  
国家标准  
**无损检测 材料超声速度测量方法**

GB/T 23900—2009

\*

中国标准出版社出版发行  
北京复兴门外三里河北街 16 号

邮政编码：100045

网址 [www.spc.net.cn](http://www.spc.net.cn)

电话：68523946 68517548

中国标准出版社秦皇岛印刷厂印刷  
各地新华书店经销

\*

开本 880×1230 1/16 印张 1.5 字数 34 千字  
2009 年 8 月第一版 2009 年 8 月第一次印刷

\*

书号：155066·1-38473 定价 24.00 元

如有印装差错 由本社发行中心调换  
版权所有 侵权必究  
举报电话：(010)68533533



GB/T 23900—2009